

日本テキサス・インスツルメンツ株式会社



本社：〒160-8366
東京都新宿区西新宿 6 丁目 24 番 1 号
西新宿三井ビルディング

報告書番号：PCN#20091117004
2009年12月3日

お客様各位

日本テキサス・インスツルメンツ株式会社
営業・技術本部 カスタマドキュメント
マネージャ 牧 達郎

データシート訂正(UCC289x製品)のご案内

拝啓 貴社益々ご清栄の事とお喜び申し上げます。平素は弊社製品のご愛顧を賜り、厚く御礼申し上げます。さて、標題の件につきまして下記にご連絡させていただきます。ご査収の程、宜しくお願ひ申し上げます。

敬具

一 記 一

通知タイプ	<input type="checkbox"/> Initial notice (Plan)	<input checked="" type="checkbox"/> Final notice		
変更概要	<input checked="" type="checkbox"/> Design/Specification	<input type="checkbox"/> Design	<input checked="" type="checkbox"/> Electrical	<input type="checkbox"/> Mechanical
	Wafer Fab	<input type="checkbox"/> Site	<input type="checkbox"/> Process	<input type="checkbox"/> Material
	Wafer Bump	<input type="checkbox"/> Site	<input type="checkbox"/> Process	<input type="checkbox"/> Material
	Assembly	<input type="checkbox"/> Site	<input type="checkbox"/> Process	<input type="checkbox"/> Material
	Test	<input type="checkbox"/> Site	<input type="checkbox"/> Process	
	Others	<input type="checkbox"/> Packing/Shipping/Labeling	<input type="checkbox"/> -	
変更内容	データシート 4 項目の記載訂正 現行 : 4 項目の記載 変更後 : 4 項目の記載訂正			
対象製品	対象製品リスト参照			
変更時期	データシート訂正は 11 月下旬に実施済みです。			
品質認定試験	<input type="checkbox"/> 計画	<input type="checkbox"/> 終了		
製品表示	<input checked="" type="checkbox"/> 変更無し	<input type="checkbox"/> 変更あり		
備考	—			

尚、ご不明な点、ご質問等がございましたら、担当営業或いはpcn_tij@list.ti.comにお問い合わせ下さい。

以上

変更内容

内容：今回のお知らせは、通知のみを目的としたものになります。

発行済みのデータシートに訂正箇所がありその訂正をお知らせするものです。弊社 PWR(パワーマネジメント) UCC289x製品について、製品の変更は一切ありませんが、製品特性をより反映する為にデータシートの記載訂正を実施しました。尚、今回の変更で訂正対象項目を除き、製品についての互換性(寸法/公差), 外観, 動作特性, 品質, 信頼性への影響はありません。

理由：製品特性をより反映する為

対象製品リスト

対象製品名

UCC2891D	UCC2891PWR	UCC2892PW	UCC2893DR	UCC2894DR
UCC2891DG4	UCC2891PWRG4	UCC2892PWG4	UCC2893DRG4	UCC2894DRG4
UCC2891DR	UCC2892D	UCC2892PWR	UCC2893PW	UCC2894PW
UCC2891DRG4	UCC2892DG4	UCC2892PWRG4	UCC2893PWG4	UCC2894PWG4
UCC2891PW	UCC2892DR	UCC2893D	UCC2894D	UCC2894PWR
UCC2891PWG4	UCC2892DRG4	UCC2893DG4	UCC2894DG4	UCC2894PWRG4

詳細：

1. Datasheet#

SLUS542E ⇒ SLUS542F

<http://focus.ti.com/lit/ds/symlink/ucc2891.pdf>

Item	Page/Location	Description of Change
C.1	Pg 3 ELECTRICAL CHARACTERISTICS TABLE	Changed test conditions, spec limit, and clarified footnote
C.2	Pg 8, Equations 1 to 6 DETAILED PIN DESCRIPTIONS	Changed equations (1)-(6)
C.3	Pg 15 - 17, Figures 3 to 6 ELECTRICAL CHARACTERISTICS TABLE	Changed waveforms and accompanying text
C.4	Pg 31, Figure 28 TYPICAL CHARACTERISTICS	Replaced Figure

注記) この表はデータシートのすべての変更を包括しているものではありません。弊社の品質管理規定に則して通知する必要があると判断された項目のみ記載しています。情報の確認には最新のデータシートを参照ください。

C1 Pg 3 ELECTRICAL CHARACTERISTICS TABLE**ELECTRICAL CHARACTERISTICS**

$V_{DD} = 12 \text{ V}^{(1)}$, 1- μF capacitor from V_{DD} to GND, 0.01- μF capacitor from V_{REF} to GND, $R_{ON} = R_{OFF} = 75 \text{ k}\Omega$, $R_{DEL} = 10 \text{ k}\Omega$, $R_{SLOPE} = 50 \text{ k}\Omega$, $-40^\circ\text{C} \leq T_A = T_J \leq 125^\circ\text{C}$ (unless otherwise noted)

PARAMETER	TEST CONDITIONS	MIN	TYP	MAX	UNIT
HIGH-VOLTAGE BIAS SECTION (UCC2891, UCC2893)					
I_{DD-ST} V_{DD} startup current	Current available from V_{DD} during Start up, $V_{IN} = 36 \text{ V}$ (3)	4	11	11	mA

(3) The power supply starts with I_{DD-ST} load on V_{DD} . For more detailed information, see pin descriptions for V_{IN} and V_{DD}

**ELECTRICAL CHARACTERISTICS**

$V_{DD} = 12 \text{ V}^{(1)}$, 1- μF capacitor from V_{DD} to GND, 0.01- μF capacitor from V_{REF} to GND, $R_{ON} = R_{OFF} = 75 \text{ k}\Omega$, $R_{DEL} = 10 \text{ k}\Omega$, $R_{SLOPE} = 50 \text{ k}\Omega$, $-40^\circ\text{C} \leq T_A = T_J \leq 125^\circ\text{C}$ (unless otherwise noted)

PARAMETER	TEST CONDITIONS	MIN	TYP	MAX	UNIT
HIGH-VOLTAGE BIAS SECTION (UCC2891, UCC2893)					
I_{DD-ST} V_{DD} startup current	Current available from V_{DD} during Start up, $V_{IN} = 36 \text{ V}$, $T_A = -40^\circ\text{C}$ to 85°C (3)	4	11	11	mA

(3) The power supply starts with I_{DD-ST} load on V_{DD} , part will start up with no load up to 125°C . For more detailed information, see pin descriptions for V_{IN} and V_{DD} .

C2 Pg 8, Equations 1 to 6 DETAILED PIN DESCRIPTIONS**DETAILED PIN DESCRIPTIONS****RDEL (pin 1)**

$$t_{DEL1} = 1.1 \times \left(\frac{S}{\Omega}\right) \times R_{DEL} \times 10^{-11} \quad (1)$$

$$t_{DEL2} = 1.1 \times \left(\frac{S}{\Omega}\right) \times R_{DEL} \times 10^{-11} \quad (2)$$

RTOFF (pin3)

$$t_{ON} = 37.33 \times 10^{-12} \times R_{ON} \times \left(\frac{S}{\Omega}\right) \quad (3)$$

$$t_{OFF} = 16 \times 10^{-12} \times R_{OFF} \times \left(\frac{S}{\Omega}\right) \quad (4)$$

$$T_{SW} = t_{ON} + t_{OFF} \quad (5)$$

$$D_{MAX} = \frac{t_{ON}}{T_{SW}} \quad (6)$$

**DETAILED PIN DESCRIPTIONS****RDEL (pin 1)**

$$t_{DEL1} = t_{DEL2} = 11.1 \times 10^{-12} \times R_{DEL} + 15 \times 10^{-9} \text{ seconds} \quad (1)$$

RTOFF (pin3)

$$t_{ON} = 36.1 \times 10^{-12} \times R_{ON} - t_{DEL1} \text{ seconds} \quad (2)$$

$$t_{OFF} = 15 \times 10^{-12} \times R_{OFF} + t_{DEL1} + 170 \times 10^{-9} \text{ seconds} \quad (3)$$

$$T_{SW} = t_{ON} + t_{OFF} \quad (4)$$

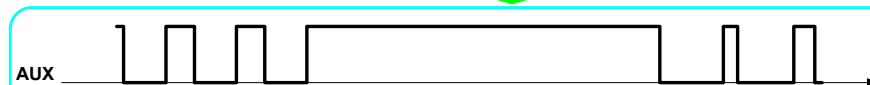
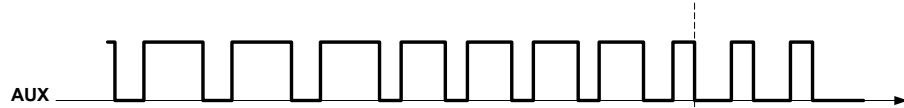
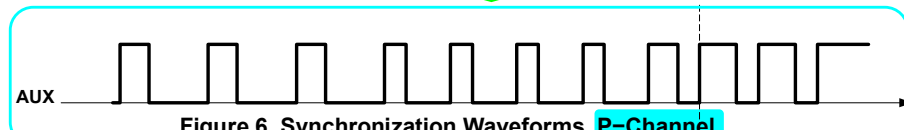
$$D_{MAX} = \frac{t_{ON}}{T_{SW}} \quad (5)$$

C3 Pg 15 – 17, Figures 3 to 6 ELECTRICAL CHARACTERISTICS TABLE**Figure 3. Line Undervoltage Shutdown Waveforms**

To eliminate this potential hazard the UCC289x controllers safely discharge the clamp capacitor during power down. The AUX and OUT output continues switching while the soft-start capacitor C_{SS} is being slowly discharged. Notice that the AUX and OUT pulse width gradually increases as the clamp voltage decreases never applying the high voltage across the transformer for extended period of time. From this, the function of soft start is achieved.

**Figure 3. Line Undervoltage Shutdown Waveforms, P-Channel**

To eliminate this potential hazard the UCC289x controllers safely discharge the clamp capacitor during power down. The AUX and OUT output continues switching while the soft-start capacitor C_{SS} is being slowly discharged. Notice that the AUX and OUT pulse width gradually **decreases** as the clamp voltage decreases never applying the high voltage across the transformer for extended period of time. From this, the function of soft stop is achieved.

**Figure 4. Line Overvoltage Sequence****Figure 4. Line Overvoltage Sequence, P-Channel****Figure 5. Pulse Skipping Operation****Figure 5. Pulse Skipping Operation, P-Channel****Figure 6. Synchronization Waveforms****Figure 6. Synchronization Waveforms, P-Channel**

C4 Pg 31, Figure 28 TYPICAL CHARACTERISTICS

